

## 3.9. Atom-Licht Wechselwirkung

**Prof. David Hunger** 

Physikalisches Institut, KIT Fakultät für Physik



## Übergänge zwischen Energieniveaus

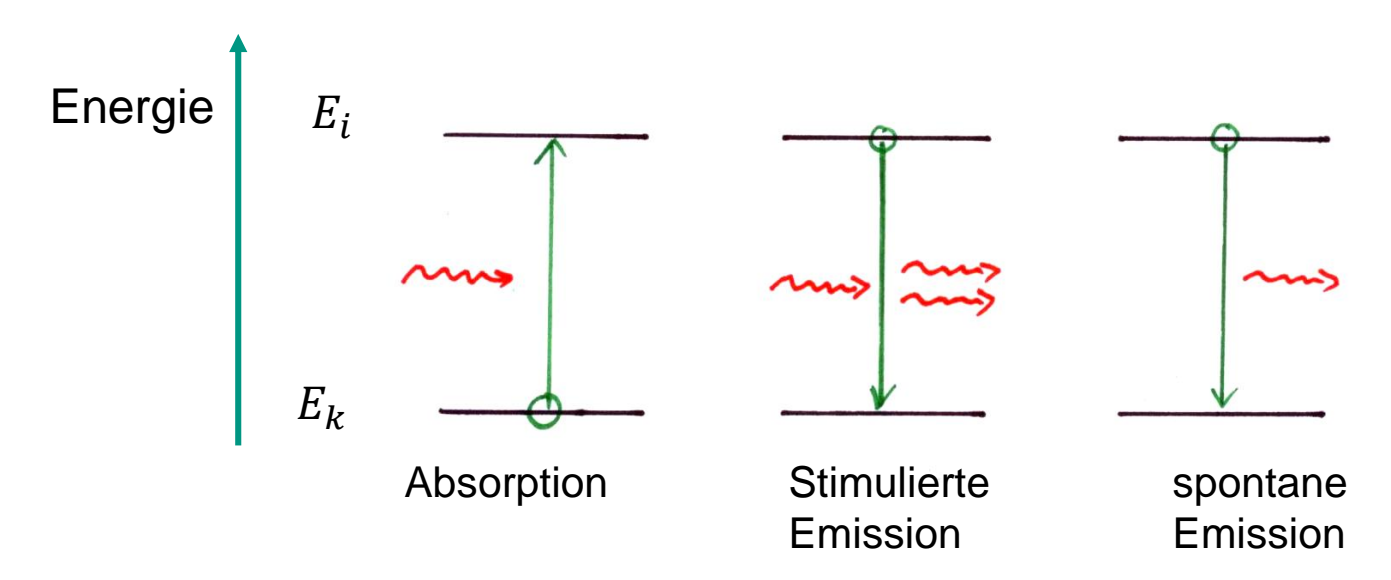


- **Betrachte vereinfachend nur 2 Niveaus**  $E_i$ ,  $E_k$
- Atom kann durch Absorption oder Emission eines Photons mit Energie

$$E = h\nu = E_i - E_k$$

von einem Niveau in ein anderes übergehen

- Absorption: Photon wird vernichtet, Atom angeregt
- Stimulierte Emission: eingestrahltes Photon löst Emission aus
- Spontane Emission: Vakuum Fluktuationen lösen Emission aus



## Übergangswahrscheinlichkeit



#### Einstein Koeffizienten

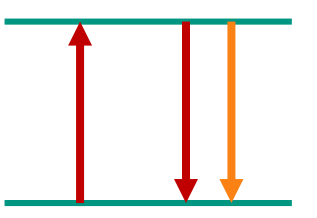
Wahrscheinlichkeit für Übergang pro Zeit

$$W_{abs} = B_{ki} \rho(\nu)$$
  $B_{ki}$  Einstein-Koeffizient der Absorption  $W_{em} = B_{ik} \rho(\nu)$   $B_{ik}$  Einstein-Koeffizient der stimulierten Emission  $W_{spont} = A_{ik}$  Einstein-Koeffizient der spontanen Emission

$$ho(v) = n(v)hv$$
 spektrale Energiedichte = Anzahl Photonen pro Volumen pro Frequenzintervall 1/s

Für  $N_i$  Atome im Zustand  $E_i$  und  $N_k$  im Zustand  $E_k$  im Strahlungsfeld der Energiedichte  $\rho(\nu)$  im stationären Gleichgewicht:

Emissions ate = Absorptions ate 
$$A_{ik}N_i + B_{ik}\rho(\nu)N_i = B_{ki}\rho(\nu)N_k$$



# Einstein Koeffizienten und Planck'sche Strahlungsformel



Im thermischen Gleichgewicht gilt für die Besetzungszahlen die Boltzmann Verteilung

$$\frac{N_i}{N_k} = g_i/g_k e^{-(E_i - E_k)/k_B T}$$
 mit  $g = 2J + 1$  Zahl der entarteten Niveaus

Setze Boltzmannverteilung in Gleichgewichtsbedingung ein, löse nach  $\rho(\nu)$  auf

$$\rho(\nu) = \frac{\frac{A_{ik}/B_{ik}}{\left(\frac{g_k}{g_i}\right)^{\frac{B_{ki}}{B_{ik}}} \left(e^{h\nu/k_BT} - 1\right)}$$

 $\rho(v)$  des thermischen Strahlungsfeldes durch Planck-Formel gegeben:

$$\rho(\nu) = \frac{8\pi h \nu^3}{c^3} \frac{1}{e^{h\nu/k_B T} - 1}$$

damit folgt

$$B_{ik} = \frac{g_k}{g_i} B_{ki}$$

$$A_{ik} = \frac{8\pi h v^3}{c^3} B_{ik}$$

■ Bei gleichen statistischen Gewichten ist induzierte Emission = Absorption

## Übergangswahrscheinlichkeit



Klassisch: Hertz'scher Dipol

$$d = q r = d_0 \sin \omega t$$

Strahlt die mittlere Leistung integriert über alle Winkel

$$\bar{P} = \frac{2}{3} \frac{d_0^2 \omega^4}{8\pi \epsilon_0 c^3}$$

Quantenmechanisch: Dipolmoment gegeben durch Erwartungswert

$$\langle \boldsymbol{d} \rangle = e \, \langle \boldsymbol{r} \rangle = e \int \psi_i^* \, \boldsymbol{r} \, \psi_i dV$$

- für einen Übergang  $E_i \to E_k$  müssen die Wellenfunktionen beider Zustände berücksichtigt werden
- lacktriangle man definiert den Erwartungswert  $M_{ik} = \langle d_{ik} \rangle$  des Übergangsdipolmoments  $d_{ik}$

$$\mathbf{M}_{ik} = e \int \psi_i^* \mathbf{r} \psi_k dV$$

- Es gilt  $|\mathbf{M}_{ik}| = |\mathbf{M}_{ki}|$
- Emittierte Leistung

$$\langle P_{ik} \rangle = \frac{4}{3} \frac{\omega_{ik}^2}{4\pi\epsilon_0 c^3} |\boldsymbol{M}_{ik}|^2$$

## Übergangswahrscheinlichkeit



Mit  $A_{ik}$  die Wahrscheinlichkeit pro Sekunde dass ein Atom ein Photon spontan emittiert, gilt für  $N_i$  Atome im Zustand  $E_i$ 

$$\langle P \rangle = N_i A_{ik} \hbar \omega_{ik}$$

damit ist

$$A_{ik} = \frac{2\omega_{ik}^3}{3\epsilon_0 c^3 h} |\boldsymbol{M}_{ik}|^2$$

■ Man kann die Erwartungswerte  $|M_{ik}|$  für alle Übergänge eines Atoms in einer Matrix anordnen  $\rightarrow$  Matrixelemente

#### **Absorption**

- Lichtwelle  $\mathbf{E} = \mathbf{E}_0 e^{i(kr \omega t)}$
- Wechselwirkungsenergie:

$$E_{int} = \boldsymbol{d} \cdot \boldsymbol{E}$$

Absorptionswahrscheinlichkeit

$$W_{abs} = \frac{\pi e^2}{2\hbar^2} \left| \int \psi_k^* (\boldsymbol{E}_0 e^{i\boldsymbol{k}\boldsymbol{r}} \boldsymbol{r}) \psi_i dV \right|^2$$

Für  $kr \ll 1$  ( $\lambda$  groß gegen Atomgröße) ist  $\mathrm{e}^{ik\mathrm{r}} \approx 1$  - Dipolnäherung

$$W_{abs} = \frac{\pi e^2}{2\hbar^2} E_0^2 \left| \int \psi_k^*(\hat{\boldsymbol{e}} \, \boldsymbol{r}) \psi_i dV \right|^2$$

• Mit integrierter Strahlungsdichte  $\rho = \int \rho(v) dv = \epsilon_0 |\mathbf{E}|^2$  folgt

$$B_{ki} = \frac{2}{3} \frac{\pi}{\epsilon_0 \hbar^2} |M_{ik}|^2$$

## Auswahlregeln



Nicht jeder mögliche Übergang wird experimentell beobachtet

#### Bedingungen

- Energieerhaltung
- Drehimpulserhaltung
- Symmetrie

 $\rightarrow$  nur Übergänge möglich für die mindestens eine Komponente von  $M_{ik} \neq 0$  ist sind möglich

$$\psi_{nlm} = \frac{1}{\sqrt{2\pi}} R_{nl}(r) T_m^l(\theta) F_m(\phi)$$

- Entlang z linear polarisierte Welle mit  $E = \{0,0,E_0\}$
- nur Term  $E_0z=E_0r\cos\theta$  trägt für Übergangswkt.  $\propto |\mathbf{E}\cdot\mathbf{M}_{ik}|^2$  bei

$$(M_{ik})_z = \frac{e}{2\pi} \int_{r=0}^{\infty} R_i R_k r^3 dr \int_{\theta=0}^{\pi} T_{m_k}^{l_k} T_{m_i}^{l_i} \sin \theta \cos \theta d\theta \int_{\phi=0}^{2\pi} e^{i(m_k - m_i)\phi} d\phi$$

keiner der drei Faktoren darf = 0 sein.

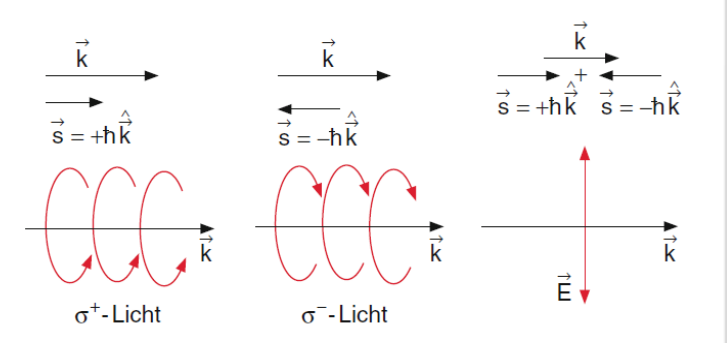
## Auswahlregel für die magnetische Quantenzahl



$$(M_{ik}(\phi))_z = \int_{\phi=0}^{2\pi} e^{i(m_k - m_i)\phi} d\phi = \delta(m_i, m_k)$$

- lacksquare nur ungleich null für  $\Delta m = m_i m_k = 0$
- Betrachte x- und y- Komponenten: Bilde komplexe Linearkombinationen  $(M_{ik})_x \pm i(M_{ik})_y$

$$(M_{ik}(\phi))_x \pm i(M_{ik}(\phi))_x = \int_{\phi=0}^{2\pi} e^{i(m_k - m_i \pm 1)\phi} d\phi$$



- nur ungleich null für  $\Delta m = \pm 1$
- Matrixelemente  $(M_{ik})_x \pm i(M_{ik})_x$  beschreiben Absorption & Emission von zirkular polarisiertem Licht

#### **Erhaltung des Gesamtdrehimpulses**

- Licht / Photonen tragen Drehimpuls  $\pm \hbar$ ,  $(\sigma^+/\sigma^- \text{ Polarisation})$ ; z-Komponente des Atomdrehimpulses muss sich bei Absorption um  $\pm \hbar$  ändern
- lineare Polarisation ist Überlagerung  $\sigma^+ \pm \sigma^-$ ; Erwartungswert des Photondrehimpulses ist null; z-Komponente des Atomdrehimpulses ändert sich nicht

#### Auswahlregel für $\Delta m$

 $\Delta m = 0$  linear polarisiertes Licht, Ausbreitung  $\perp$  zu z  $\Delta m = \pm 1$  zirkular polarisiertes Licht, Ausbreitung  $\parallel$  zu z

## Auswahlregel für die magnetische Quantenzahl

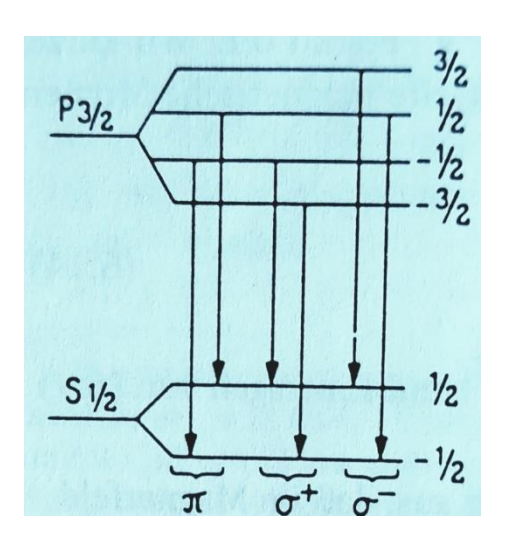


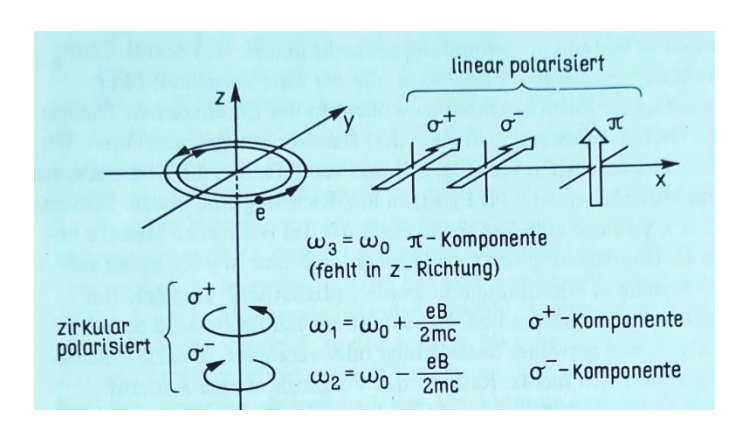
Drehimpulsänderung bei Absorption / Emission umgekehrt:

Photon	Absorption	Emission
$\sigma^+$	$\Delta m = +1$	$\Delta m = -1$
$\sigma^-$	$\Delta m = -1$	$\Delta m = +1$
$\pi$	$\Delta m = 0$	$\Delta m = 0$

Atom in Magnetfeld entlang z

- zirkular polarisiertes Licht in z-Richtung
- linear polarisiertes Licht in x,y Ebene





## **Paritätsauswahlregel**



Betrachte zweites Integral

$$\int_{\theta=0}^{\pi} T_{m_k}^{l_k} T_{m_i}^{l_i} \sin \theta \cos \theta \, d\theta \text{ ist nur dann } \neq 0 \text{ wenn } \Delta l = \pm 1$$

Auswahlregel für 
$$\Delta l$$
  
 $\Delta l = \pm 1$ 

- folgt auch sofort aus Drehimpulserhaltung: Da das Photon Drehimpuls  $\pm\hbar$  trägt, muss sich der Drehimpuls des Atoms ebenso ändern
- Erklärung aus Symmetrie:

$$\mathbf{M}_{ik} = \int \int \int \psi_i^* \, \mathbf{r} \, \psi_k dV$$

- Integriere von  $-\infty$  bis  $\infty \rightarrow$  Integral nur  $\neq 0$  wenn Integrand gerade Funktion f(r) = f(-r)
- Da r ungerade, f(r) = -f(-r), muss  $\psi_i^* \psi_k$  ebenfalls ungerade sein
- $lack \psi_i^*$ ,  $\psi_k$  müssen unterschiedliche Parität haben; für  $T_m^l$  ist die Parität  $(-1)^l$

## Spinquantenzahl Auswahlregel



Betrag des Spins ist

$$|s| = \sqrt{3/4}\hbar$$

kann sich bei optischen Übergängen nicht ändern

Auswahlregel für 
$$\Delta s$$
  
 $\Delta s = 0$ 

Die Auswahlregel gilt nur solange die Spin-Bahn Kopplung klein ist und man räumliche Wellenfunktion und Spinfunktion separiert schreiben kann

$$\Psi = \psi_{nlm}(r, \theta, \phi) \cdot \chi$$

Orientierung des Spins relativ zum Bahndrehimpuls kann sich ändern Auswahlregel für den Gesamtdrehimpuls j = l + s

#### Auswahlregel für ΔJ

$$\Delta J = 0, \pm 1,$$
  
aber  $J = 0 \rightarrow J = 0$  verboten

da bei  $\Delta s=0$ ,  $\Delta m_{\scriptscriptstyle S}=0$  nicht  $\Delta l=\pm 1$  erfüllt

Neben Dipolübergängen gibt es deutlich schwächere Quadrupol Übergänge ( $\Delta l = 0, \pm 2$ ), magnetische Dipol Übergänge, Multipol Übergänge etc.

## Lebensdauer angeregter Zustände

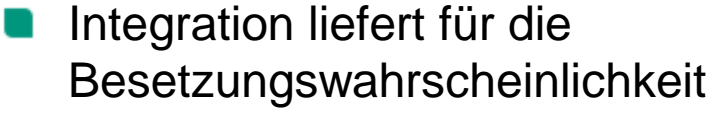


Ist  $A_{ij}$  die Wahrscheinlichkeit, aus dem Zustand  $E_i$  unter Fluoreszenz in den Zustand  $E_j$  überzugehen, so ist die Zahl der während dt übergehenden Atome

$$dN_i = -A_{ij}N_i dt$$

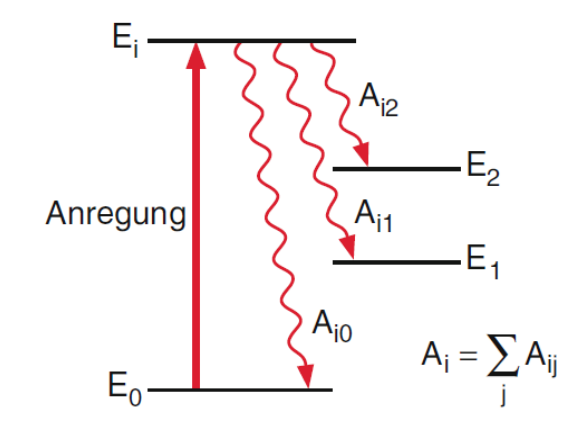
lacktriangle kann der Zustand  $E_i$  in mehrere tiefere Zustände zerfallen, so gilt

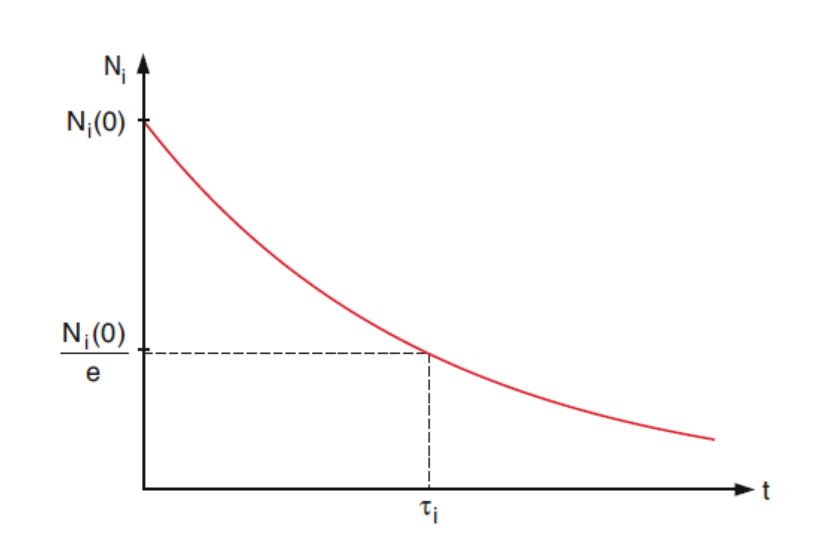
$$dN_i = -A_i N_i dt \text{ mit } \gamma_i = \sum_j A_{ij}$$



$$N_i(t) = N_0 e^{-\gamma_i t}$$

• mit  $\tau_i = 1/\gamma_i$ die mittlere Lebensdauer





## Linienbreiten von Spektrallinien



Bei Absorption oder Emission von Licht bei Übergängen

$$\Delta E = E_i - E_j = h \nu_{ij}$$

ist die Frequenz  $v_{ij} = v_0$  nicht streng monochromatisch.

• Frequenzverteilung  $P(\nu - \nu_0)$  charakterisiert durch Halbwertsbreite

#### Natürliche Linienbreite

Wellenfunktion f
ür Zustand

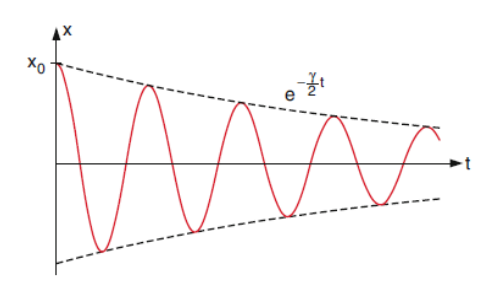
$$|\psi(t)|^2 = a e^{-\gamma t} e^{-i\omega_0 t} \qquad \text{mit } \omega_0 = E_i - E_0$$

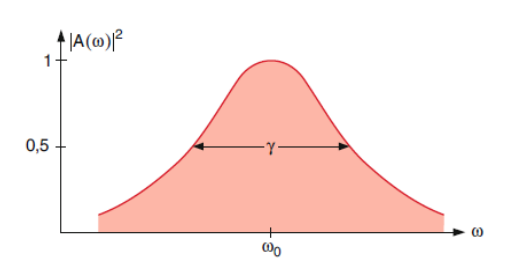
 abgestrahlte Welle hat Frequenzspektrum gemäß Fourier Transformation

$$A(\omega) = \frac{1}{\sqrt{2\pi}} \int a \, e^{-\gamma t} e^{-i\omega_0 t} dt = a' \frac{1}{i(\omega_0 - \omega) + \frac{\gamma}{2}}$$

$$P(\omega) = C A(\omega) A^*(\omega) = \frac{P_0 \gamma / 2\pi}{(\omega - \omega_0)^2 + \left(\frac{\gamma}{2}\right)^2}$$
 Lorentz Profil

Linienbreite  $\Delta \omega = \gamma = A_i = 1/\tau_i$  gegeben durch Lebensdauer Korrespondiert zu Energie-Zeit Unschärfe  $\Delta E = \hbar/\tau_i$ 





typische Linienbreite 10MHz bei  $v_0 = 500$ THz

## Dynamik der Wellenfunktion

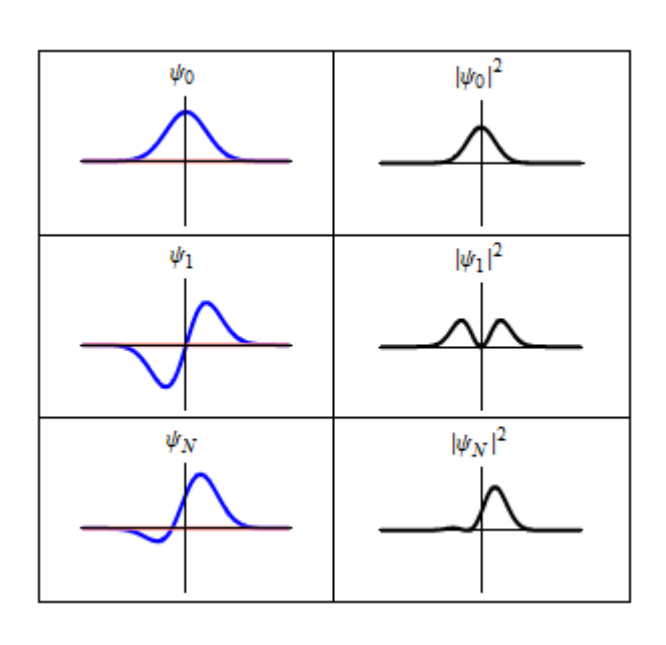


Zeitliche Dynamik einer Superposition

$$\psi = c_1(t)e^{-i\omega_1 t}|1\rangle + c_2(t)e^{-i\omega_2 t}|2\rangle$$

- Die beiden Anteile oszillieren mit unterschiedlichen Frequenzen
- Nonstruktive und destruktive Interferenz führen zu einer Oszillation mit der Differenzfrequenz  $\omega_{21} = \omega_2 \omega_1$
- Dipolmoment

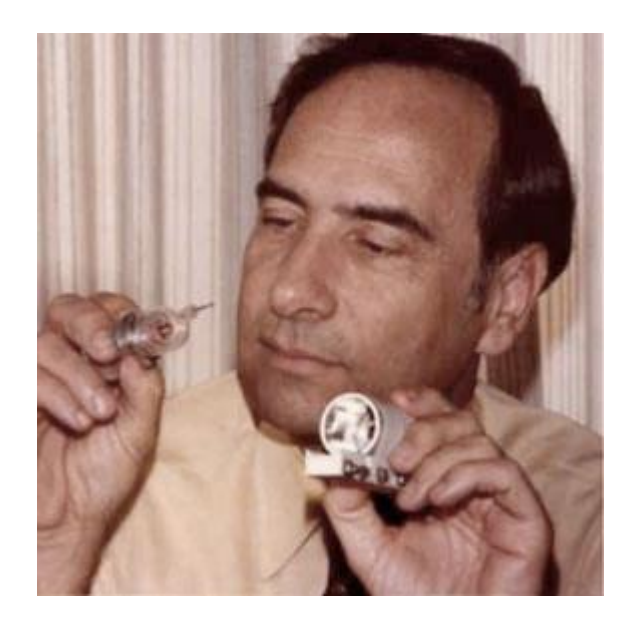
$$\begin{split} \langle d(t) \rangle &= \langle \psi(t) | \hat{d} | \psi(t) \rangle \\ &= c_2^*(t) e^{i\omega_2 t} \langle 2 | \hat{d} | 1 \rangle c_1(t) e^{-i\omega_1 t} + c.c. \\ &= d_{12} c_2^* c_1 e^{-i\omega_{21} t} + c.c. \\ &= \frac{i}{2} d_{12} \sin \Omega t \, e^{-i\omega_{21} t} \end{split}$$



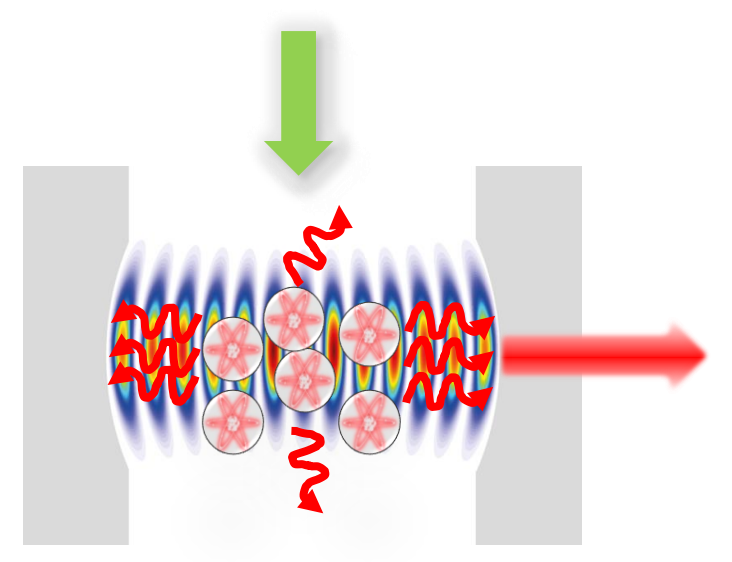
### Laser

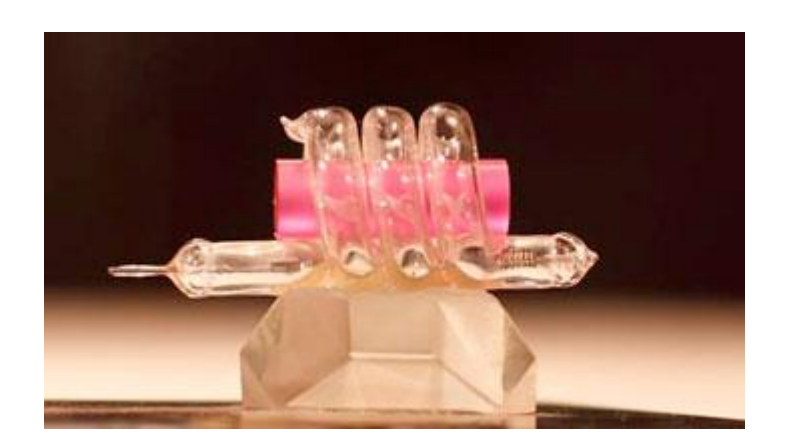
Karlsruhe Institute of Technology

Postuliert 1916 von Einstein



Theodore Maiman 1960





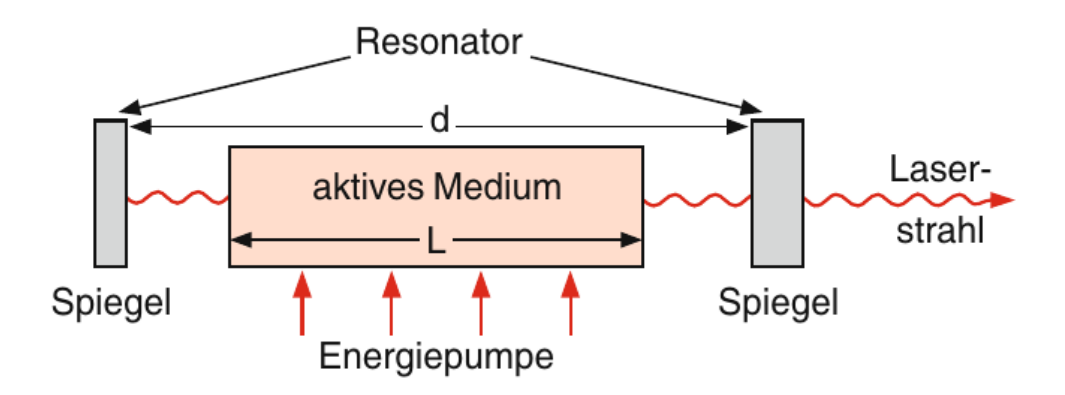
#### Laser



LASER: Light Amplification by Stimulated Emission of Radiation

#### Komponenten:

- aktives Medium (optische Verstärkung, Gain)
- Anregung für Emission
- Rückkopplung und Frequenzselektion durch optischen Resonator
- Auskopplung (teil-transmissive Spiegel)

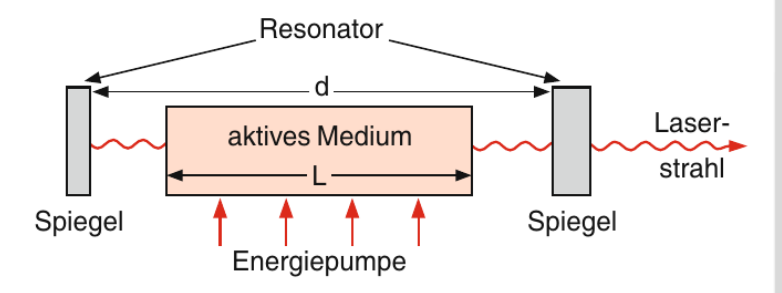


## Karlsruhe Institute of Technology

#### Laser: Light Amplification by Stimulated Emission of Radiation

Absorptionsrate

Besetzungsinversion – mehr Atome im angeregten Zustand als im Grundzustand, stimulierte Emission durch erzeugtes Laserlicht



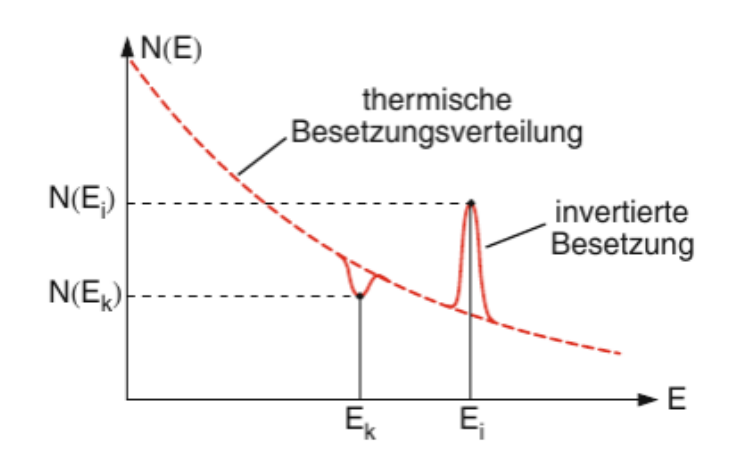
#### **Aber**

Im Gleichgewicht
Emissionsrate =

$$A_{ik}N_i + B_{ik}\rho(\nu)N_i = B_{ki}\rho(\nu)N_k$$

Thermisches Gleichgewicht: Besetzungszahlen Boltzmann verteilt

$$\frac{N_2}{N_1} = e^{-(E_2 - E_1)/k_B T}$$



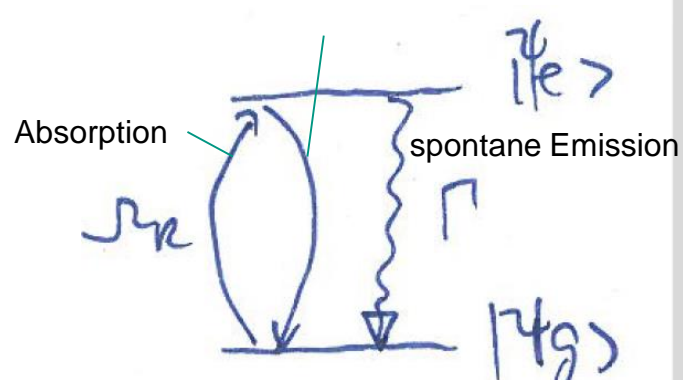
## Energieniveauschema

Karlsruhe Institute of Technology

Stimulierte Emission

**Zweiniveausystem**: erfordert resonante Anregung; Absorption und stimulierte Emission kompensieren sich, keine Inversion möglich

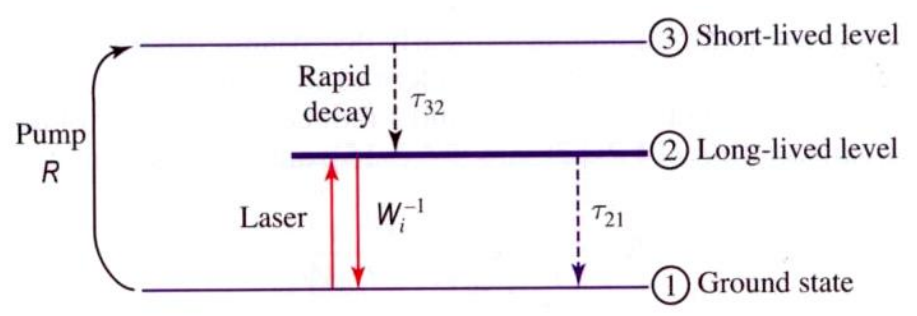
unter starker Anregung:  $\frac{N_2}{N_1} \rightarrow 1$ 



#### **Dreiniveausystem:**

Drittes Niveau ermöglicht Inversion

Ideal: Vierniveausystem zur schnellen Entvölkerung des unteren Laserniveaus



#### Lasermedium

#### Gaslaser

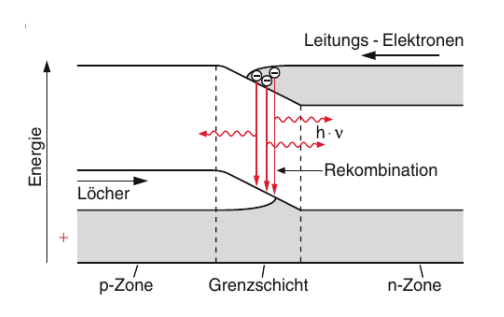
He-Ne, CO2, Ar+

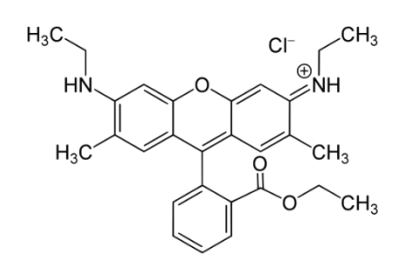
#### Festkörper

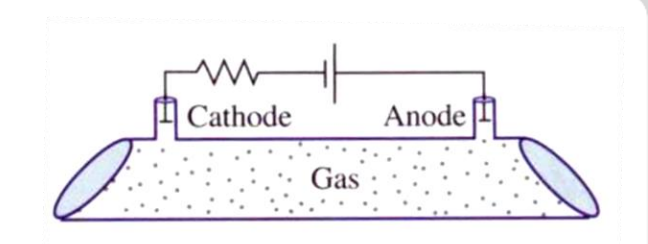
- Übergangsmetalle (Cr3+:Al2O3 Rubin, Ti:Al2O3)
- Seltenerdionen (Nd3+:YAG, Erbium Faserlaser)

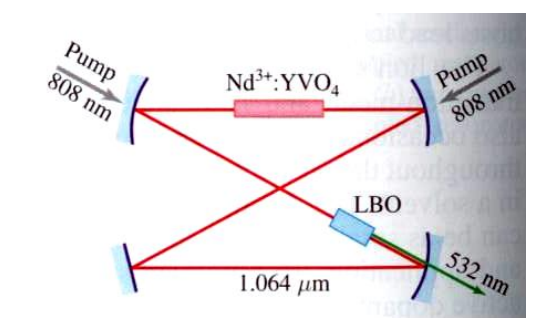
Halbleiter Diodenlaser

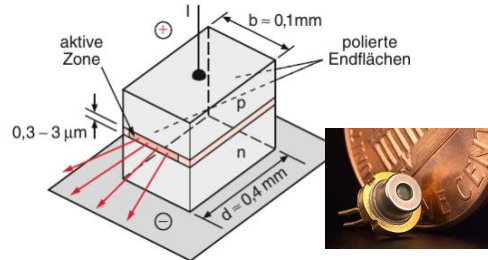
Farbstofflaser







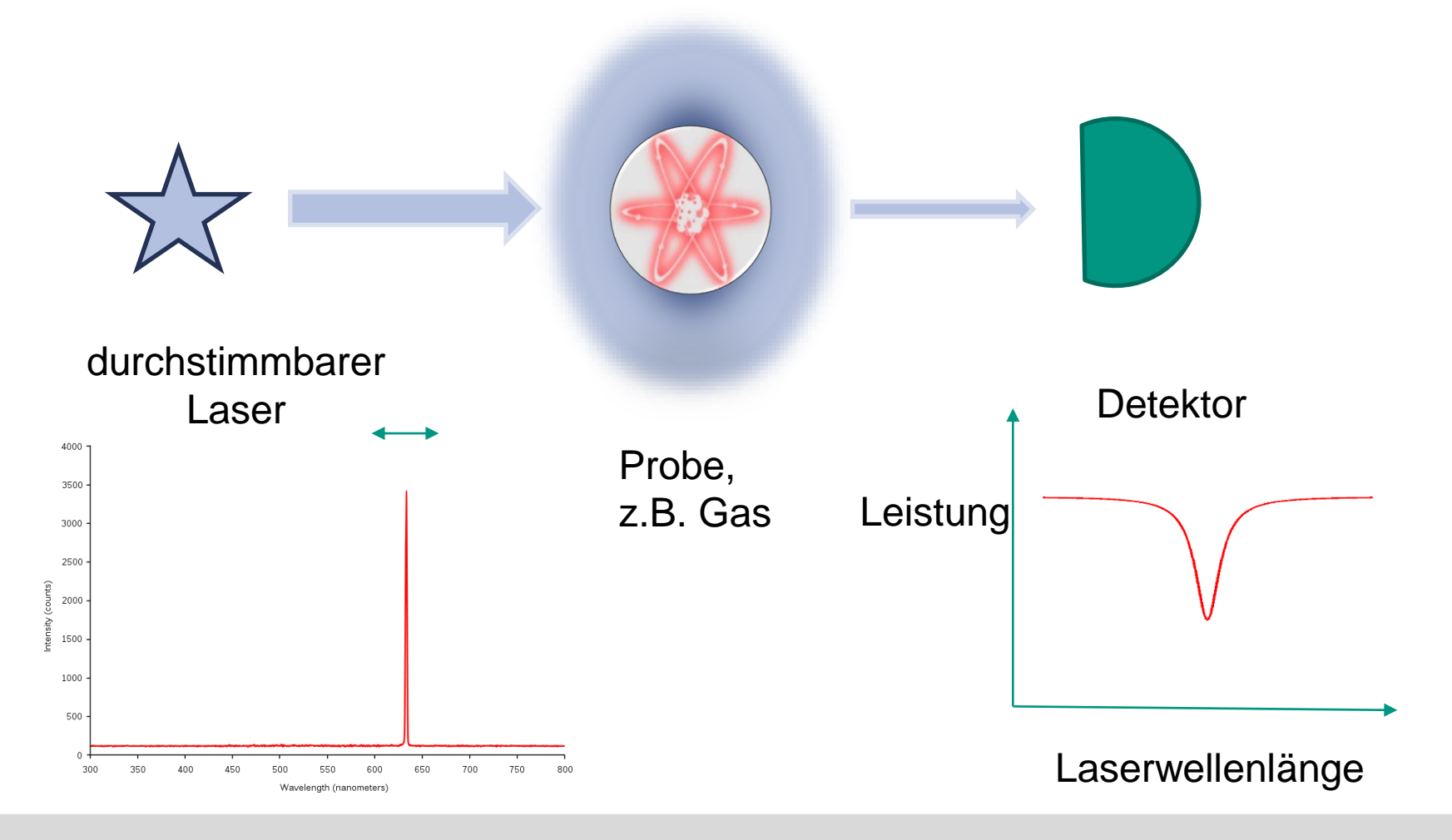






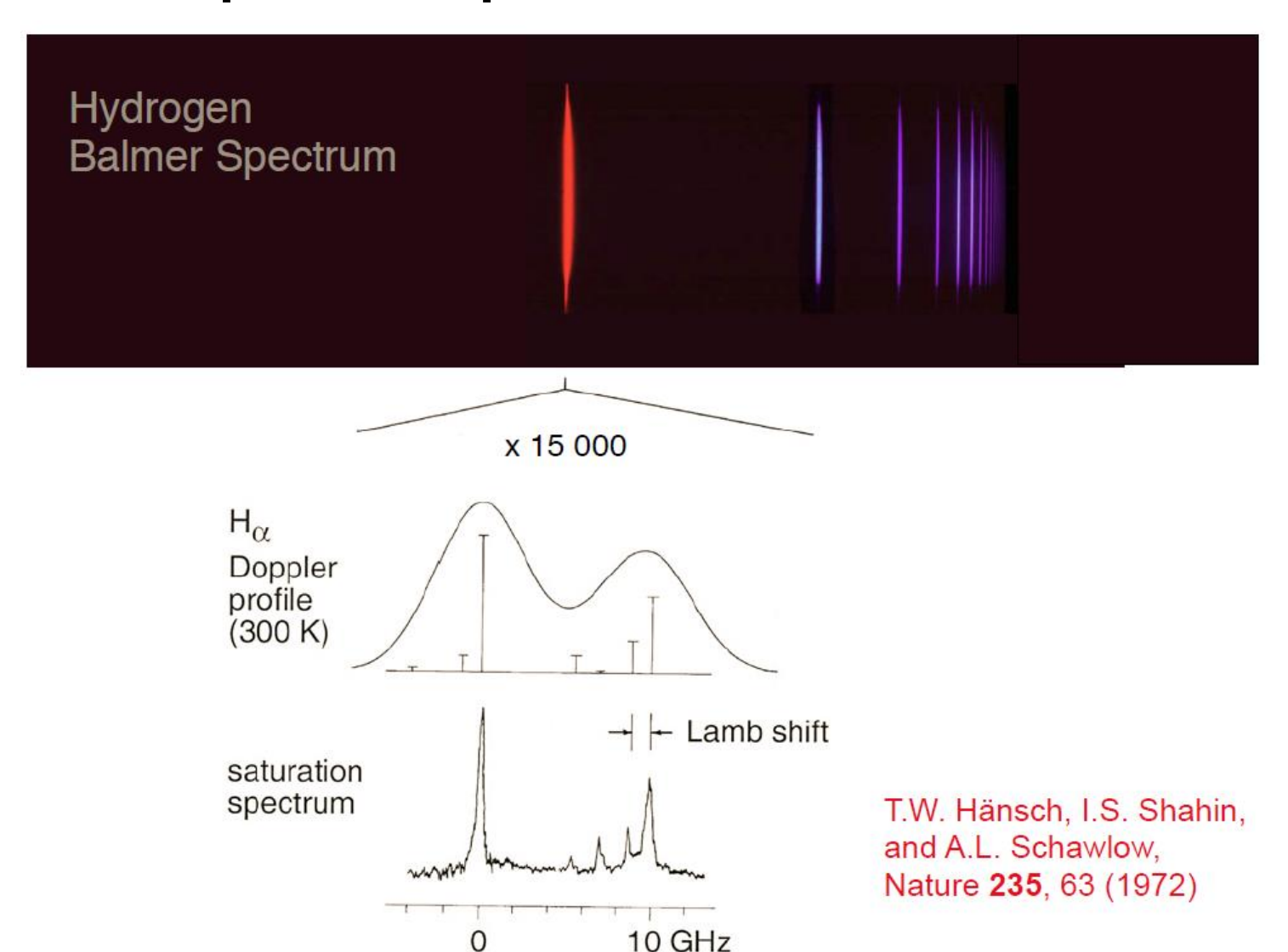
## Anwendungsbeispiel: Laserspektroskopie





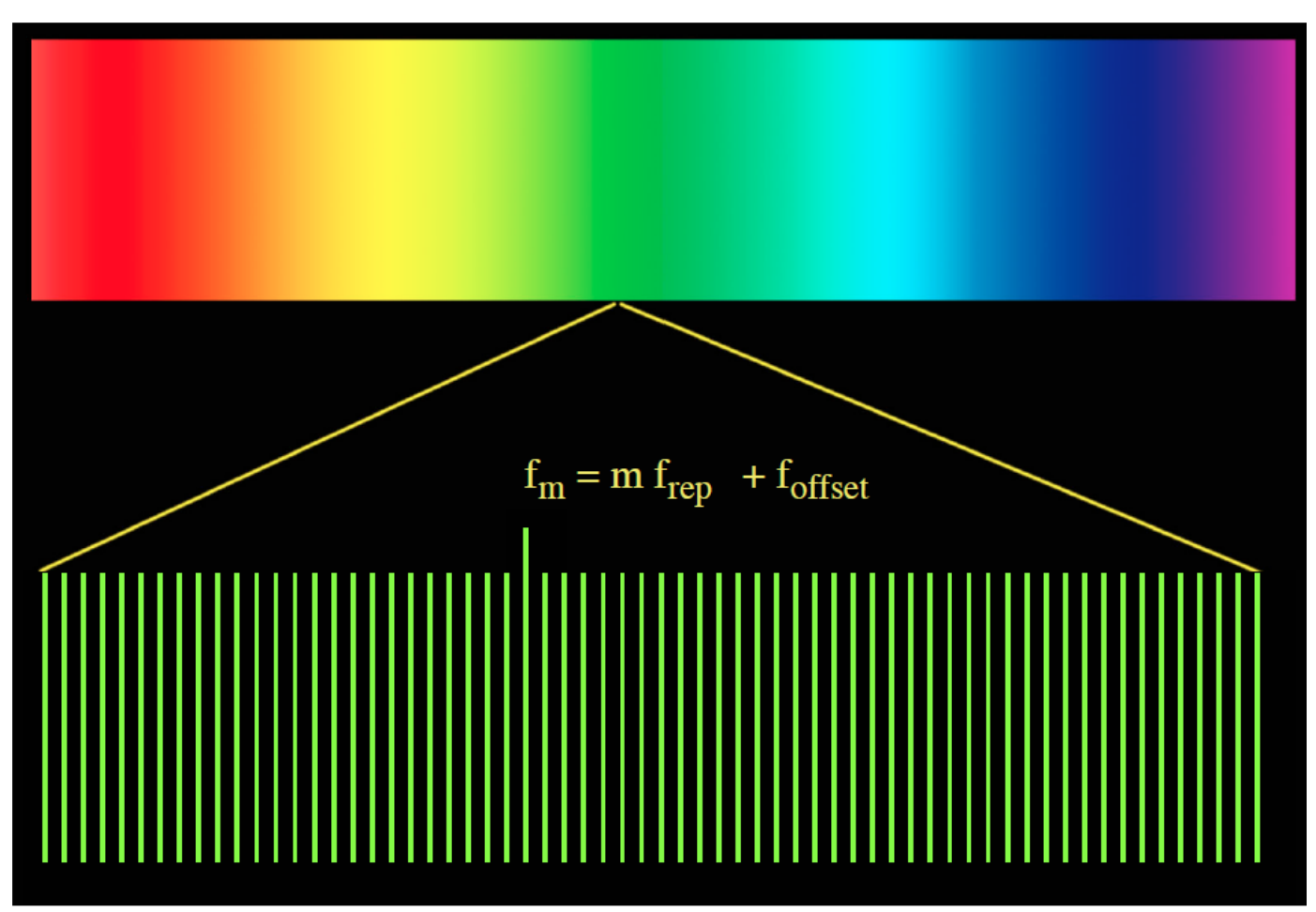
## Präzisionsspektroskopie von Wasserstoff





## Frequenzkamm

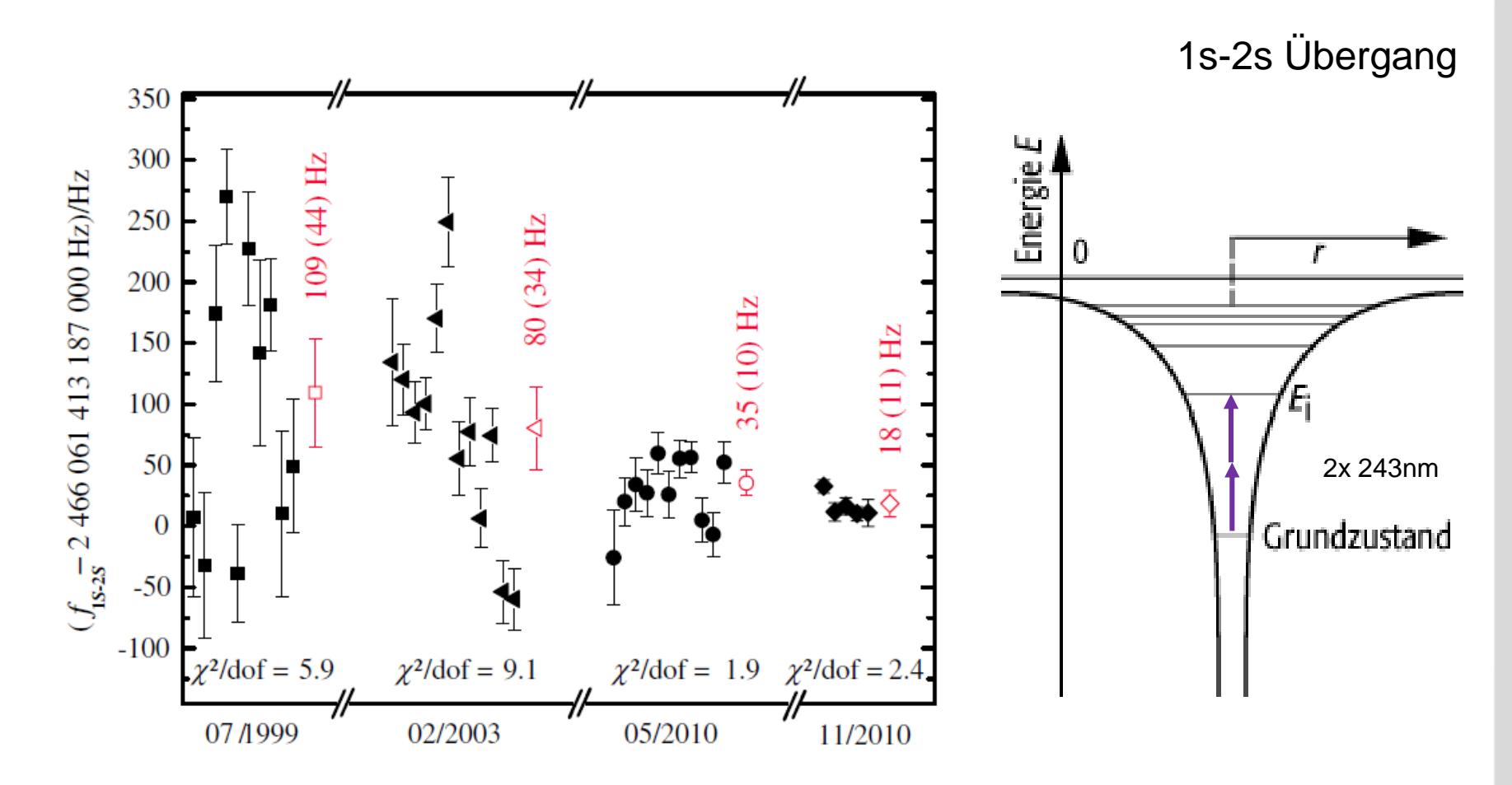




T.W. Hänsch, private communication

## Präzisionsspektroskopie





Relative Unsicherheit: 4 x 10<sup>-15</sup>

Matveev, Hänsch et al., PRL 110, 230801 (2013)

## Nobelpreis 2005

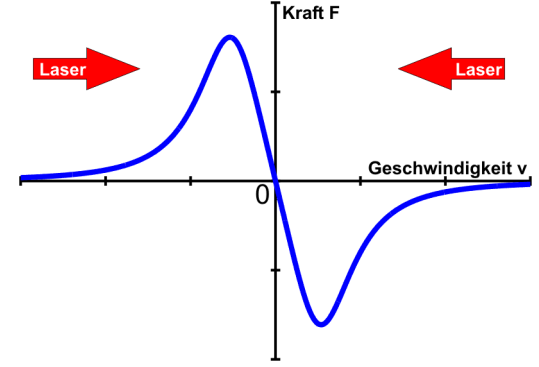


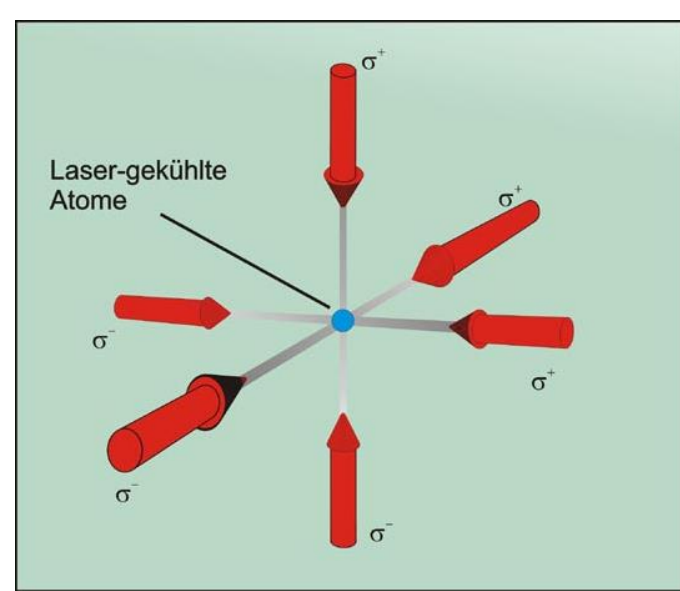


## Anwendungsbeispiel Laserkühlung



- Geschwindigkeitsabhängige Kraft
- 6 gegenläufige Strahlen für Kühlung von allen Seiten
- Kühlung auf bis ca. 100µK, begrenzt durch "Schrotrauschen" – zufällige Emissionsrichtung





## **Optische Pinzette**

## Karlsruhe Institute of Technology

#### Stark Effekt

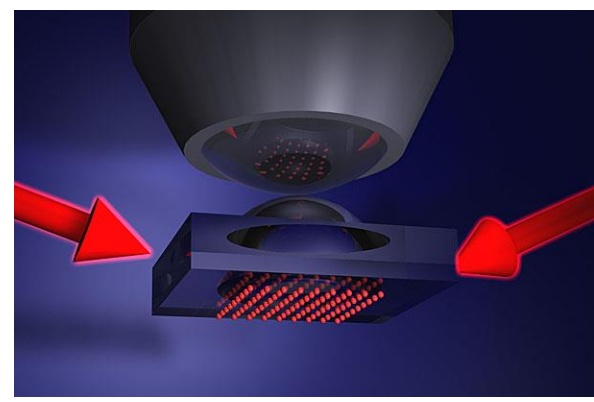
- $\ddot{a}$  äußeres Feld induziert elektrisches Dipolmoment  $d^{ind} = \alpha E$
- α Polarisierbarkeit
- Energieverschiebung

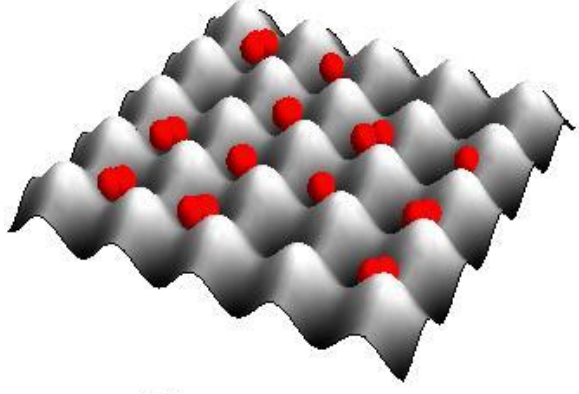
$$\Delta U = -d^{ind}E = -\alpha E^2$$

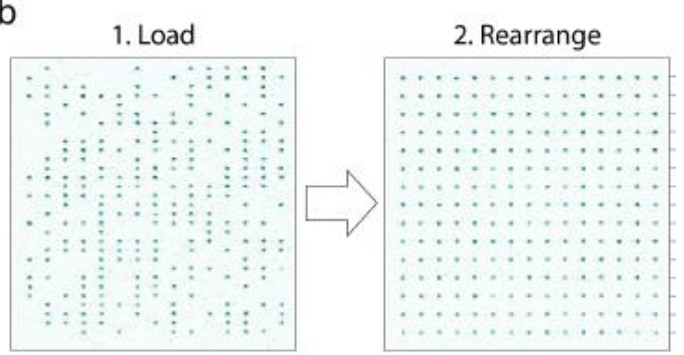
Für räumlich variierende Intensität  $I \propto E^2$ 

$$F = -\nabla U$$

- **2.B.** Für 2D Stehwelle  $I \propto \cos^2 kx \cos^2 ky$
- "Eierkarton" für Atome: Optisches Gitter



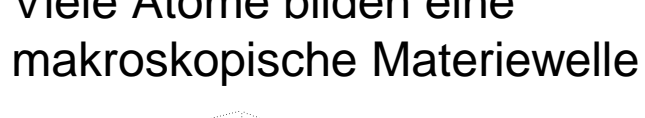


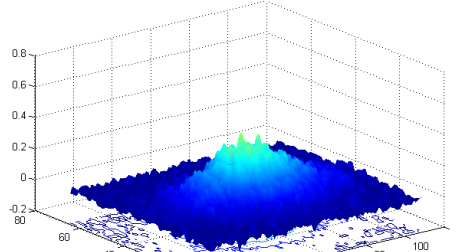


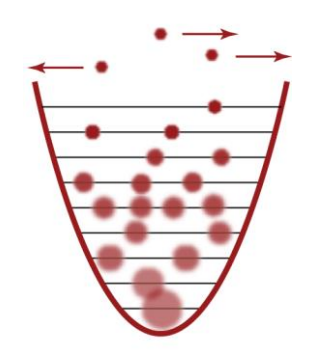
## **Bose Einstein Kondensat (BEC)**

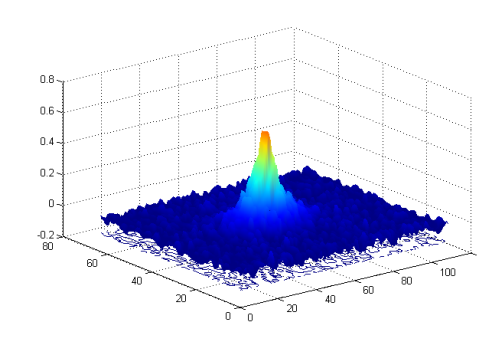


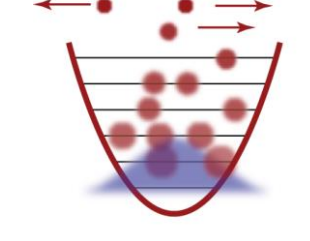
Viele Atome bilden eine



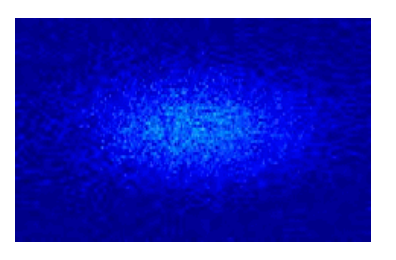


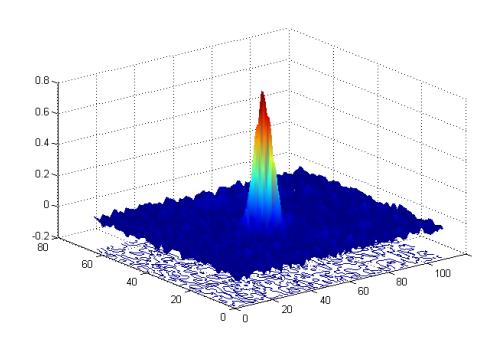


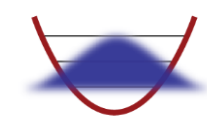




Schattenbilder der atomaren Dichteverteilung







#### Interferenz zweier BECs

